(5) 炭鹿爆發を生起する主なる生起因子は、炭廉中 に含有される揮發分であると斷定することが可能で ある。

附記―本實驗は文部省科學研究費の援助を受けて行っ たもので、實驗補佐の龜石正之君、鹿毛博司君、倉 輸裏維君に謝意を表わす。

文 献

- 1) 吉田·長田: 火薬協會誌 9, 133 (昭 24).
- Gray: J. C. S. I. 49, 432~37 T (1930).
- Hartmann: U. S. Bur, mines rept. investigations, 44 pp. 3722 (1943).
- 4) 疋田强: 火薬協會誌 9, 121 (昭 24)。
- 5) Garner: Trans. Fard. Soc. 26, 590 (1930).

A Consideration on the Coal Dust Explosion

By Ginziro Yoshida and Hideyo Osada

- (1) The smaller the grain size of coal dusts, the more imflamable the coal dusts are.
- (2) The metals (Pt, Cu, or Fe) accelerate the explosion of coal dusts, acting as the positive catalysts,
- (3) The center of explosion is formed above the energy source and then propagates downward.
- (4) When the coal dusts ignite, the pressure rises gradually at first, and then keeps a constant value for a while. After then, the center of explosion is formed and explosion occurs. From the results above mentioned, the mechanism of coal dust explosion might be considered as follows:—At first the coal dusts decompose by the energy of ignition source, and evolve the imflamable volatile matters which mix with the air and form the explosive mixture. Then the center of explosion is formed with the accumulation of their reaction energies and by the help of radiation energies of the ignition source. At last the chain reaction follows the explosion and the flame propagates toward the cloud of concentrated coal dusts.

(The Kyusyu Colledge of Technology)

工業用導火線の燃燒速度理論

(昭和24年11月5日受理)

日 野 熊 雄 (日本化藥厚狭作業所)

描 要

因體火藥の燃燒速度と膨力の關係式を明にし、更に粉體火藥の燃燒速度と假比重との關係を導出した。一方工業用導火線が大氣中では定常燃燒をする事實を基として何面からの噴出ガス量、末端からの噴出ガス量、全ガス量と線長との關係式を導出し、式中の保敷の實驗的決定法を述べた。更に粉狀火藥の燃燒速度式とガス噴出量の式から導火線の定常燃變速度式を導いた。次に導火線何面を完全に填塞した場合の加速燃燒速度式を導き、線長と全燃煙砂時の關係式を求め膨力指數の決定法を明にした。かくして從來理論的解析の全く行はれていない導火線の燃燒に關する理論を明にした。

固體火藥の燃燒速度とガス壓力の關係式

從來火藥類の燃燒速度は、ガス壓力の函數として表 すことが實用上重要であつたので、實驗的及び理論的 にこの關係が研究されてきた。その研究發達の設明は 省略して現在までの結果を總括すると、先ず實驗的に 燃燒速度 * はガス壓力 p の n 乘函數として表され た。即ち

$$r_s = a_1 p^n$$
(1)

その後實驗が進むと直線二項式

$$v_s = a_2 + b_2 p - \dots (2)$$

が實驗的に確められた。次にガス分子運動論反應速度 論的考察と實驗から比例式

$$v_s = b_1 p$$
(3)

が提出された。以上の諸式は、ガス壓力が数:00 氣壓 以上數 1,000 氣壓に對して認められて來たが、數 10 氣壓から數氣壓の低ガス壓力範圍に於ける火薬の實用 が主となつて來ると、理論的にも實驗的にも(3) の比 例式は成立たないことが判つて來た。筆者は之等の事 情を考察して一般的二項式

$$v_s = a_3 p^n + b_3 p$$
(4)

を提出し(1945 年)實驗的にも理論的にも低壓高壓の廣範圍に亘つて(4)式が今迄の處最も合理的なることを明にした。然し問題を高壓に限る時は(3)の比例式が便利で、低壓のみを取扱う時は(1)の n 乘式又は(2)の直線式が便利である。 以下本研究に於ては低壓のみを取扱うから 便宜上 $n=np^n$ 式を用いることとする。

Ⅱ. 粉體火藥の燃燒速度と假比重の關係式

今假比重 △=1 の粉肤火薬が一邊の長さ l。の固體 立方形の火薬粒と長さ l。の空間から成つて居ると考

える。燃燒方向 1 cm 内の固體粒子層の數を M とすれば

$$M(l_g+l_s)=1$$
 cm

固體粒子の直線分解速度を v_s とし、空間内の ガス速 度を v_s とすれば

$$\frac{M(l_g+l_s)}{v} = M \frac{l_g}{v_g} + M \frac{l_s}{v_s} = t$$

今粒子を粉碎し、その一邊を $\frac{1}{m}$ にし $\frac{1}{m^3}$ ケに

分割すると l_e は l_e/m となるが, 粒子總數は m³ 倍と なり, 燃燒方向の粒子の 1 cm 當りの數は mM とな るから結局 t 從て v は變らない。

次に假比重を Δ_0 から $g^3\Delta_0$ にするとx 方向の固體層 の總和は Mgl_x となるが、 $M \times \frac{l_g}{g}$ = Ml_g である。 Δ_0 =1, $\Delta=\Delta_0 g^3$ ととれば

$$\begin{split} t &= q \, \mathbf{M} \, \frac{l_g}{q} \, \frac{1}{v_g} + q \, \mathbf{M} \, \frac{l_s}{v_s} = \mathbf{M} \, q \Big(\frac{l_g}{v_g} \, \frac{1}{g} + \frac{l_s}{v_s} \Big) \\ &= \mathbf{M} \, \Delta^{\frac{1}{3}} \Big(\frac{l_g}{v_g} \, \frac{1}{\Delta^{\frac{1}{3}}} + \frac{l_s}{v_s} \Big) = \frac{\mathbf{M} \, l_g}{v_g} + \frac{\mathbf{M} \, l_s}{v_s} \, \Delta^{\frac{1}{3}} \end{split}$$

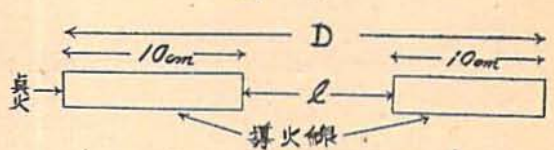
又は
$$v = \frac{1}{t} = \frac{v_g v_s}{M(l_g v_s + l_s v_g \Delta^{\frac{1}{4}})}$$
一方 $Mg \frac{l_g}{g} + Mg l_s = 1$
即ち $l_g = \frac{1}{M} - g l_s$

之を用いり式に代入して

$$v = \frac{v_g v_s}{v_s + M l_s (v_g - v_s) \Delta^{\frac{1}{\alpha}}}$$

固體粒子の質比重を S とすれば $Sl_a^3M^3=\Delta_0=1$ であるから $Ml_a=S^{-\frac{1}{2}}$ 即ち

$$v = \frac{v_g v_s}{v_s + (v_g - v_s) \Delta^{\frac{1}{3}} S^{-\frac{1}{3}}} \qquad (5)$$



 v_g と v_s の相對的數値を得るために圖 2 の如く 2 本の導火線の間を第一の導火線からのガスで博火させるに l が 15 cm 以上となると第二の導火線は點火しないが l が 10 cm の時は全距離 L が 25.4 秒で燃烧する。一方導火線のみ 20 cm ある時は 25 秒で燃烧するから少くともガス速度は v_g =25 cm/sec である。一方導火線の燃烧速度は v_s =25 cm/sec であるから導火線内に於けるガス速度は固體粒子自體の直線燃烧速度 v_s より遙に大である。 黒色火薬に於て S=1.8 g/cm³とすると上例で v_s =0.75 cm/sec となる。 從て v_g に對し v_s を無視しても誤差は 3% である。即ち v_g 》 v_s 從て (5) 式は實用上

$$v = v_e \left(\frac{S}{\Delta}\right)^{\frac{1}{3}}$$
 (6)

R. Schwab は粉體爆薬の爆轟に於ては r₀−r₂<0 と 考えて全く別のv~△ 函數形を導いている。 さて (6) -式は假比重が少し増加しても燃烧速度は除り減少しな いことを示している。一方 [の (1) 式から $v_s=a_1p^n$ であるから

$$v=a_1p^n\left(\frac{S}{\Delta}\right)^{\frac{1}{2}}$$
 (7)

一般的には

$$v = (a^3p^n + b_3p)\left(\frac{S}{\Delta}\right)^{\frac{1}{3}}$$
....(8)

火薬の特徴数と ** の関係を考察するには a₂, b₂ を燃 換温度の函数として表す必要がある。筆者の考察によ ると低壓に於てはガス分子 衝 突は 激しくなくなるか ら,火薬の燃燒は主として高温ガスからの輻射に依る 活性化に基く。このエネルギー傳達は pⁿT^A に比例す る。ガス輻射を爲すものは CO₂ と H₂O で n, h の 値は次の如くである。

A. Schwab: Der industrielle Wärmeübergang (1940)

CO₂:
$$n = \frac{1}{3}$$
 $h = 3.5$
H₂O: $n = \frac{4}{5}$ $h = 3$

一方高壓に於てはガス分子衝突が激しく,この中エネルギー E 以上のガス分子の衝突が火薬の分解に有效と考え得るから,燃烧速度は主として e^{-E} p に比例する。但しe は自然對數の底である。即ち一般的には

$$v = (aT^h p^n + be^{-\frac{E}{RT}}p)\left(\frac{S}{\Delta}\right)^{\frac{1}{n}} \cdots (9)$$

となるのである。

Ⅲ. 導火線の定常燃燒

吉田銀次郎氏の實験によると導火線長 L と全燃焼 秒時 T の關係は

T=a+bL ……(:0) に依り表されるが a は b に比して極めて小である。 即ち實際問題としては第一近似としては導火線は開放 空氣中に於ては終始一定速度でその全長に亘つ燃焼す るものとして基礎計算を行つてよい。

導火線の點火點から燃焼の進んだ距離を x とする と管末の抵抗は x に比例して大となるからガスの管末 からの流出量は單位時間蓋りに一般熱力學式から

$$G_t = \varphi_1 \left(\frac{2}{k+1}\right)^{\frac{1}{k-1}} \sqrt{\frac{2gk}{k+1}} \frac{F_1}{\sqrt{RT}} p \cdots (11)$$

$$\varphi_1 = \frac{\varphi_6}{1 + bx}$$
 (12)

但し g_1 = ガス噴出の摩察係数,k= ガスの比熱比, g= 重力加速度, F_1 = ガス噴出筋面積,T= ガス温度, R= ガス常数,g= ガス壓力,g0 = g1 である。一方單位長當りの側面噴出有效面積を g と すれば、燃烧面が z に進んだ時の有效噴出面積は管 込御を D とすれば

$$\frac{\pi D^2}{4} + qx$$

從て

$$p_1F_1 = p_0 - \frac{\pi D^2}{4 + qx} - \frac{(13)}{1 + hx}$$

定常燃燒に於ては (13) 式の値が × に無關係となられ ばならぬから、定常燃燒條件として次式が成立する。

$$F = \frac{\pi D^2}{4} = \frac{q}{b}$$
(14)

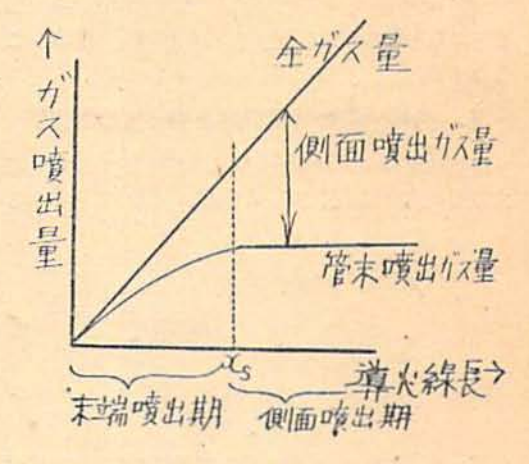
ェ 小の間は (13) 式に於て

$$\varphi_1 F_1 = \varphi_0 \left(\frac{\pi D^2}{4} \right) = \varphi_0 F \cdots (15)$$

但し F=管内筋面積、即ちガスは殆ど管末から噴出する。エが大になるに從つて、管末へのガス抵抗が大となり、エが或値エ。になれば側面からのガス噴出量 Ga は單位時間に火薬の燃焼により發生するガス量 Ga と等しくなつてもはやガスはすべて側面から噴出することになり定常燃烧が積く。圖3に示す如くエ。迄を末端噴出期と定義し、以後を側面噴出期と定義することにする。

M 3

圖.3 導火線発生がス量の今



(1) 末端噴出期のガス噴出量

$$K = \left(\frac{2}{k+1}\right)^{\frac{1}{k-1}} \sqrt{\frac{2gk}{k+1}} \frac{1}{\sqrt{RT}} = 火藥常數$$
 (16)

とおくと k=1.25 とし RT=f= 火薬力とすると $K=\frac{20.7}{\sqrt{f}}$ cm/sec となる。

$$G_e = \varphi_0 F \frac{1}{1 + hx} K p$$
(18)

側面から出るガス量は單位時間に

$$G_t = \varphi_0 \frac{qx}{1+bx} Kp = \varphi_0 \frac{Fbx}{1+bx} Kp \cdots (19)$$

全ガス量

 $G_{eL} = \int_{0}^{L} \varphi_{0} F \frac{1}{1 + bx} K p dx$ $= (\varphi_{0} F K p) \left\{ L - \frac{2.303}{b} log(1 + bL) \right\} (21)$

側面サス掛

$$G_{sL} = \int_{0}^{L} \varphi_0 F \frac{b\pi}{1+bx} Kpdx$$

= $(\varphi_0 F Kp) \frac{2.303}{b} \log(1+bL)$ (22)

$$\frac{G_{st}}{G_{et}} = r \ \xi \ \xi^{-1} \ \xi \ r + 1 = \frac{G_{tL}}{G_{eL}} = \frac{0.4243 \ bL}{\log(1+bL)}$$
(23)

r 又は r+1 は管測し得るから (23) 式を用いて b を決定し得る。

(2) 側面噴出期のガス噴出量

全ガス量は (1) と同じく

$$G_{tL} = (p_0 FKp)L$$
(20)

管末ガス量は L=x。以後は一定で

$$G_{eL} = (\varphi_0 FKp) \left\{ x_s - \frac{2.303}{b} \log(1 + bz_s) \right\}$$

=const ------(24) 側面ガス量は從て L=x。以後は

 $G_{sL} = (\varphi_0 FKp) L - (\varphi_0 FKp) \left\{ x_s - \frac{2.203}{b} \log(1 + \frac{2.203}{b}) \right\}$

$$+bx_{\delta}$$
 = $(\varphi_0 FKp)$ L $-$ const ·······(25)

Ⅳ. 導火線の定常燃燒速度式

從て
$$p = \left(\frac{AS^{\frac{1}{3}}\Delta^{\frac{2}{3}}}{\wp_0 K}\right)^{\frac{1}{1-n}}....(26)$$

即ち

$$v = A^{\frac{1}{1-n}} (\varphi_0 K)^{\frac{n}{1-n}} S^{\frac{1}{3(1-n)}} \Delta^{\frac{1}{3} (\frac{3n-1}{1-n})} \dots (27)$$

即ちゃは薬徑に関係しない。 $K = \frac{20.7}{VJ}$ を代入して

$$v = \{20.7^{-n}g_0^{-n}AS^{\frac{1}{3}}\Delta^{\left(n-\frac{1}{3}\right)}f^{\frac{n}{2}}\}^{\frac{1}{1-n}}\cdots(27)'$$

今 $n \rightleftharpoons 0.5$ 又 $A = CT^{\frac{1}{3}}$ で $\frac{1}{2} \rightleftharpoons 2$ とすれば $f = 0.38$ V_0 T を使用して

$$r = \frac{3 \times 10^{-2}}{90} C^{2}V_{0}^{0.5}T^{4.5}S^{0.67}\Delta^{0.24} \dots (27)^{\prime\prime}$$

即ち燃焼温度 T が燃焼速度を一番支配し、次に比例 常数 C、火漿の質比重 S、摩擦係数 90、ガスの比容 積 Vo が影響し、假比重 Δ の影響は少い。90 は被覆 内壁の性質のみならず、燃焼周體養法、及び之と被覆 内面の附着性の大小に支配される。又ガス噴出量は實際の導火線では火災ガスのみでなく被覆繊維の分解ガ スをも含むからその點も考慮に入れる必要がある。こ の因子及び燃焼固體残渣等に関する修正は綜合修正係 数 90 に含まれるものと見てよい。

▼. 導火線の加速燃燒速度式及び壓力指数 の決定法

導火線の側面が完全に填塞された場合には燃焼はも はキ定常的ではなく加速的となる。この場合の速度式 は實用上重要である。

この場合は g=0 であるから単位時間のガス噴出量 は線長 x に於て

$$G_x = \frac{\varphi_0 FK p}{1 + bx} \qquad (28)$$

上式中の p も z により變化する。一方燃燒に依り生 ずるガス量は

$$G_c = FA p^n \left(\frac{S}{\Delta}\right)^{\frac{1}{6}} \Delta = FA p^n S^{\frac{1}{6}} \Delta^{\frac{2}{6}} \dots (29)$$

上式中の p も z により 變化するが z の夫々の 値に 對しては (28) 式と (29) 式とは等しいから

$$\frac{\varphi_0 FKp}{1+bx} = FAp^n S^{\frac{1}{3}} \Delta^{\frac{2}{3}}$$

即世

$$p = \left(\frac{AS^{\frac{1}{3}}\Delta^{\frac{2}{3}}}{\varphi_0 K}\right)^{\frac{1}{1-n}} (1+bx)^{\frac{1}{1-n}} \dots (30)$$

一方

$$v = \frac{dx}{dt} = Ap^{n} \left(\frac{S}{\Delta}\right)^{\frac{1}{3}}$$

$$= \left(\varphi_{0}K\right)^{\frac{n}{n-1}} \left\{AS^{\frac{1}{3}}\Delta^{\frac{1}{3}(5n-1)}(1+bx)^{n}\right\}^{\frac{1}{1-n}}$$
(31)

z=0 に於る v=v。とすると之は 側面開放 (即ち普通 の狀態) に於ける場合の定常燃燥速度であつて

實用上は導火線全長の全燃焼砂時 T_i が重要である。 n=0.5 の時は

$$T_{t} = \int_{0}^{L} \frac{dx}{v_{x}} = \frac{1}{v_{0}b} ln(1+bL)$$

$$= \frac{2.303 \log(1+bL)}{v_{0}b} \qquad (34)$$

11=0.5 以外の一般の場合は

$$T_{l} = \int_{0}^{L} \frac{dx}{a_{0}(1+bx)^{\frac{n}{1-n}}}$$

$$= \frac{(1-n)}{(1-2n)} \frac{1}{bv_0} \left\{ (1+bL)^{\frac{1-2n}{1-n}} - 1 \right\} \cdots (35)$$

先述の方法で b は實験により求められるから n に

種々の値を代入して T_e~L の實測値を満足させる n を容易に求める事が出來る。大木秀夫氏 は常歴以下 の無色火薬の 開放燃焼に 依り n の値として 0.483, 0.195, 0.300, 0.955 を得ているが n 小の 程導火線に は適當である。(35) 式は n の値に依り鋭敏に變るか ら (35) 式により n を相當正確に 求めることが出來 る。

本報告に於て提出した理論式の實驗的驗證について は別に報告する。(1949-10.27)

文 献

- R. Schwab: Compt. Rend. 198 (1934) 1990.
- 吉田銀大郎: 火薬協會誌 昭和 18 年 5 卷 1 號
 p. 1.
- 3) W. Schüle: Technische Thermodynamik.
- 大木秀夫: 火藥協會誌 昭和 18 年 5卷 1號
 p. 21.

Theory of the Combustion Velocity of Safety Fuse.

By Kumao Hino

From theoretical considerations the following equations are derived for the total amount of gas discharged (G_{tL}) , gas from the end (G_{eL}) and gas from the side (G_{eL}) of the industrial safety fuses.

- (1) GtL=(90EKp)L
- (2) $G_{eL} = (p_0FKp) \left\{ L \frac{2.303}{b} \log (1+bL) \right\}$
- (3) $G_{sL} = (\varphi_0 FK p) \frac{2.303}{b} \log(1+bL)$ where $\varphi_0 = \text{discharge coeff.}$

F=sectional area of powder column; K=constant, characteristic of powder; p= pressure of gas in combustion; L=total length of the fuse, b=coeff. of axial flow resistance.

 G_{tL} and G_{eL} can be measured experimentally from which the coeff. b can be determined by

$$(4)$$
 $\frac{G_{tL}}{G_{eL}} = \frac{0.4343 \, bL}{\log(1+bL)}$

The above equations can be applied to the end-discharge period where the main gas is discharged through the end of the fuse while after $L=x_s$ the lateral discharge predominates. In lateral-discharge period the value of G_{sL} is expressed by

(5)
$$G_{sL} = (\varphi_0 F K p) L - (\varphi_0 F K p) \left\{ x_s - \frac{2.303}{h} \log(1 + hx_s) \right\}$$

Taking into account the pressure and density dependence of combustion velocity of the powder the following equation is derived for the combustion velocity of safety fuses.

(6)
$$V = \{20.7^{-n} \varphi_0^{-n} A S^{\frac{1}{3}} \Delta^{\left(n - \frac{1}{3}\right)} f^{\frac{n}{2}}\}^{\frac{2}{1-n}}$$

where A=coeff. of combustion velocity equation, S=max. density of powder, Δ =loading density of powder, and f=force of powder while V is expressed by

(7)
$$V=Apn\left(\frac{S}{\Delta}\right)^{\frac{1}{5}}$$

Equations above described are all applicable in stationary combustion. When lateral tamping is complete gas discharge is limited to the axial one. In this case the combustion is accelerated along the axis of the fuse and the total time of combustion T_t is as follows.

(8)
$$T_t = \left(\frac{1-n}{1-2n}\right) \frac{1}{bV_0} \left\{ (1+bL) \frac{1-2n}{1-n} - 1 \right\}$$

where Vo=combustion velocity in open atmosphepe.

工業爆藥の低温度に於ける實驗

(昭和24年12月22日受理)

坂 本 勝 一

(旭化成延岡工場)

緒言

営延岡工場にて液體酸素が豊富に得られるので;工 業爆業が液體酸素の低温(即ち -183°C)に於て如何 なる現象を呈するかに就き行つた實驗である。

爆棄は空間と密閉器内とに於いては猛度や殉縁を異にし、從て空間の試験である Kast や Hess の猛度 計や殉爆試験が、絶體的意味を持たないことはよく知られた事實であるが、之等の試験も爆棄が空間にて先 つ完爆する考えの下に行われて居る。然し以下の諸實 酸に依り腸質系の爆薬は空間に於いては可成り不完全 な爆轟をして居る事を示して居る。

尚ニトログリセリンの低温度に於ける實驗は K. K.

				表	
爾	99	下	向	内	管
製	查 所	A it	B社	C jit	D社
4	墨數	170	5	5	5
超知	回數	200	5	5	5

以上の試験結果を見るに普通の管管は殆ど半爆の現象を呈し、上向内管のものも多少半爆の現象を呈して 居る。二重内管のもの及びアルミ管管は變化を示して 居ない。この半爆の現象は筆者には設明がつかないが 興味ある問題である。

空間に於ける爆薬の爆轟

(イ) 桐は空間にて完全に爆轟すれば全部ガス化して

Andreew が S. S. (1934) に報告して居る。

低温度に於ける雷管の起爆

-183°C に冷却せる 膠質爆薬に就き實驗を始めん としたが起爆しない為,その原因を調べた所需管の牛 爆に起因して居ることが判明した。雷管が低温に於い ては牛爆の現象を呈すると言う事實は L. V. Clark が S. S. (1933) に報告して居るが,この現象は日本 にては餘り問題とされずに液酸爆薬に關する諸報告に も雷管は總て完爆すると報告されて居る。從て上の實 酸にて雷管の牛爆の現象が解つたので,以下各社の製 品に就き -183°C に冷却して行つた實驗結果が表 1 である。

上向内管 二重内管 アルミ管管 8 執行管 東京 延 岡 延 岡 延 岡 3 0 0 25 200 800 50 25

固體粒子は残らない管である。然るに桐を空間に懸 垂し、その下面約 20 cm の距離に鉛板を置いて起 爆するに鉛板に無数の粒子の跡を示して居る。それ が NH4NO。粒子であることは NH。臭及びチフェ ニルアミンによる NO。イオンの定性試験により知 ることが出來る。即ち桐は空間の爆轟にては無数の NH4NO。粒子が分解せず、其儘飛散して完全に爆 塞して居ない。